

ChangDualSym2

Juillet 2017

Chang

Pour reconstruire la transformation de Radon Atténueée

$$(a, f) \rightarrow g = P_a(f) \quad (1)$$

$$P_a(f)(s, \theta) = \int \exp(-D_a(x(t, s, \theta))) f(x(t, s, \theta)) dt$$

la méthode de Chang utilise l'inversion de la transformation de Radon Classique, en appliquant une correction au résultat selon

$$f(x) \simeq \frac{(P_0^{-1}g)(x)}{w_a(x)} \quad (2)$$

$$w_a(x) = \frac{1}{2\pi} \int_0^{2\pi} \exp(-D_a(x, \theta)) d\theta$$

La méthode serait exacte si $\exp(-D_a(x, \theta))$ était indépendant de θ .

ChangDualSym2

La méthode "ChangDualSym2" est basée sur un principe analogue :

- Si le poids $w(x, \theta)$ de la tranformation de Radon Pondérée

$$g = P_w(f)(s, \theta) = \int w(x(t, s, \theta), \theta) f(x(t, s, \theta)) dt \quad (3)$$

était de la forme

$$w(x, \theta) = w_1(x) w_2(x \cdot \theta^\perp, \theta) \quad (4)$$

on pourrait inverser sans erreur par

$$f(x) = \frac{1}{w_1(x)} P_0^{-1}\left(\frac{g(s, \theta)}{w_2(s, \theta)}\right) \quad (5)$$

- La transformation de Radon Atténueée est une transformation de Radon Pondérée dont, en principe, le poids

$$w_a(x, \theta) = \exp(-D_a(x, \theta))$$

ne vérifie pas la propriété précédente.

On envisage de l'inverser de façon approximative en supposant que l'effet du poids $w_a(x, \theta)$ sur les projections n'est pas très différent de celui d'un poids $\tilde{w}(x, \theta)$ vérifiant la propriété

$$\tilde{w}(x, \theta) = w_1(x) w_2(x \cdot \theta^\perp, \theta) \quad (6)$$

permettant d'obtenir une approximation de f par la formule

$$f(x) \simeq \tilde{f}(x) = \frac{1}{w_1(x)} P_0^{-1}\left(\frac{g(s, \theta)}{w_2(s, \theta)}\right) \quad (7)$$

Calcul de \tilde{w}

- w_{sym}

$$w_{sym}(x, \theta) = \frac{1}{2}[w_a(x, \theta) + w_a(x, -\theta)]$$

est symétrique en θ . (cf article)

- w_{sym2}

$$w_{sym2}(s, \theta) = moy\{w_{sym}(x(t, s, \theta)), t\}$$

moyenne sur la partie du segment $\{s\theta^\perp + t\theta, t\}$ contenue dans le support de a

3. w_{sym_3}

$$w_{sym_3}(x, \theta) = \frac{w_{sym}(x, \theta)}{w_{sym_2}(x \cdot \theta^\perp, \theta)}$$

4. w_{sym_1}

$$w_{sym_1}(x) = moy\{w_{sym_3}(x, \theta), \theta \in S^1\}$$

moyenne sur le cercle S^1 .

5. \tilde{w} (non calculé)

$$\tilde{w}(x, \theta) = w_{sym_1}(x)w_{sym_2}(x \cdot \theta^\perp, \theta)$$

Fantômes *phant*

On traite différents exemples avec Emission = ephant3.d

On compare les reconstructions par ChangDualSym2 à celles obtenues par Novmor et Chang0. Dans tous les cas il s'agit de **projections non bruitées**.

1. Att = aphantnoir.d	$a \equiv 0$	Proj = pphantnoir.d
2. Att = aphantblc.d	$a = 1$ dans $D(0, 1)$	Proj = pphantblc.d
3. Att = aphantrad1.d	$a = 1$ dans $D(0, 0.2)$ et <i>Cour</i> (0, 0.5, 0.6)	Proj = pphantrad1.d
4. Att = pphantrad10.d	$a = 10$ dans $D(0, 0.2)$ et <i>Cour</i> (0, 0.5, 0.6)	Proj = pphantrad10.d
5. Att = aphantcstt.d	$a = dist(x, \{t\theta, t\})$ pour $\theta = \pi/4$	Proj = pphantcstt.d
6. Att = aphant3.d		Proj = pphant3.d

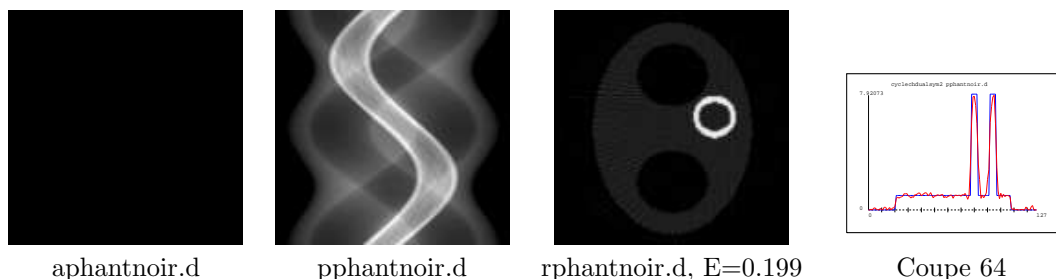
Reconstructions

aphantnoir.d	pphantnoir.d	cylemor -i 6 E=0.21763
aphantnoir.d	pphantnoir.d	cyclenchang -z E=0.19997
aphantnoir.d	pphantnoir.d	cyclechdualsym2 E=0.19997
aphantblc.d	pphantblc.d	cylemor -i 6 E=0.22762
aphantblc.d	pphantblc.d	cyclenchang -z E=0.19558
aphantblc.d	pphantblc.d	cyclechdualsym2 E=0.20204
aphantrad1.d	pphantrad1.d	cylemor -i 6 E=0.21923
aphantrad1.d	pphantrad1.d	cyclenchang -z E=0.24001
aphantrad1.d	pphantrad1.d	cyclechdualsym2 E=0.20563
aphantrad10.d	pphantrad10.d	cylemor -i 6 E=0.25302
aphantrad10.d	pphantrad10.d	cyclenchang -z E=0.49269
aphantrad10.d	pphantrad10.d	cyclechdualsym2 E=0.41964
aphantcstt.d	pphantcstt.d	cylemor -i 6 E=0.22746
aphantcstt.d	pphantcstt.d	cyclenchang -z E=0.27673
aphantcstt.d	pphantcstt.d	cyclechdualsym2 E=0.20357
aphant3.d	pphant3.d	cylemor -i 6 E=0.23383
aphant3.d	pphant3.d	cyclenchang -z E=0.2628
aphant3.d	pphant3.d	cyclechdualsym2 E=0.24069

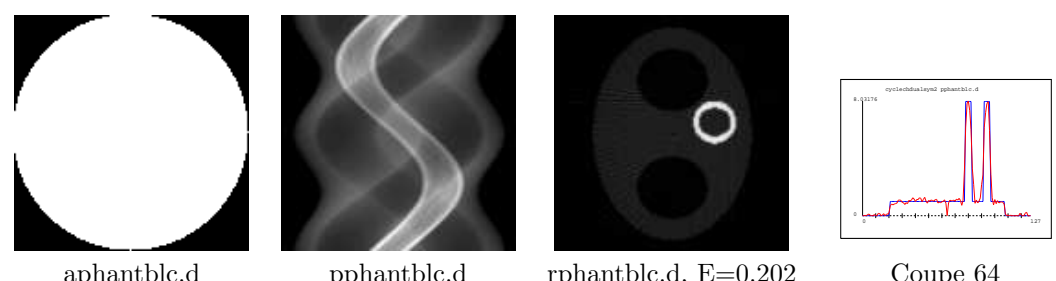
Images

Les reconstructions présentées ne concernent que celles obtenues avec ChangDualSym2.

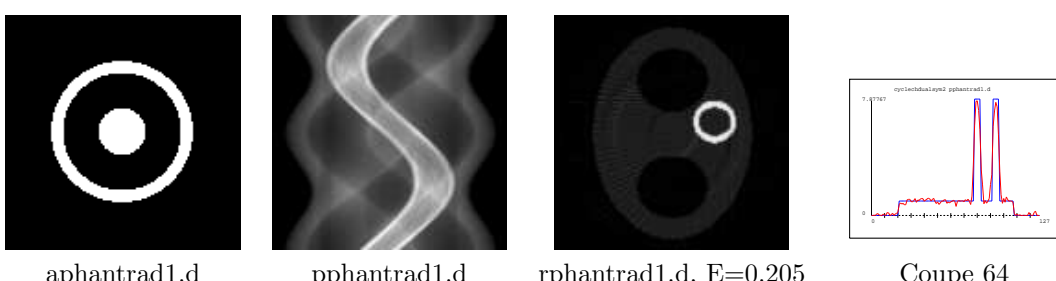
1. pphantnoir.d



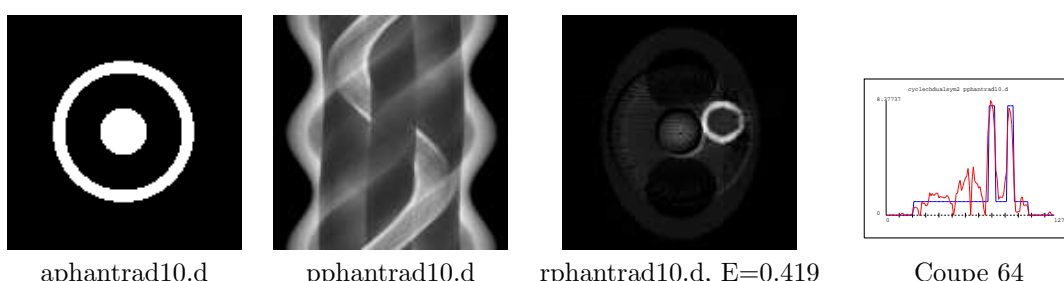
2. pphantblc.d



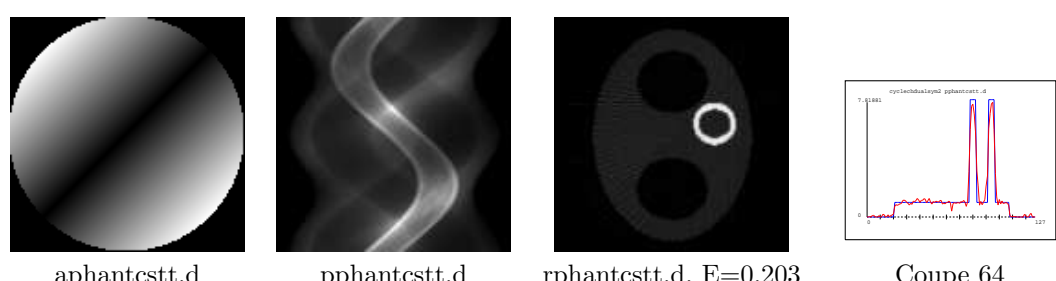
3. pphantrad1.d



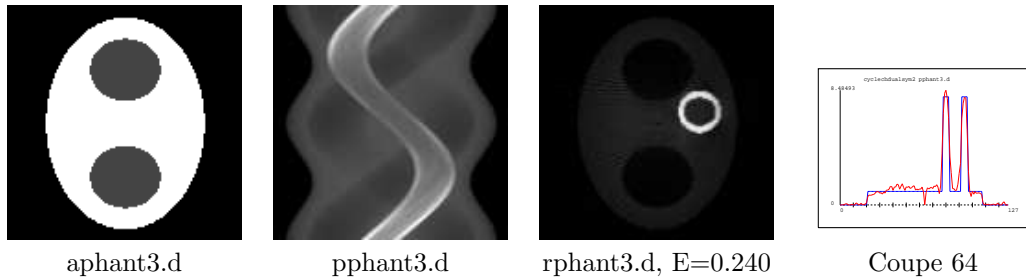
4. pphantrad10.d



5. pphantcstt.d



6. pphant3.d



Commentaires

Les erreurs relatives et les coupes 64 des résultats sont assez satisfaisantes. On note néanmoins une anomalie au pixel $(64,64)=(0,0)$ sur les coupes de rphantblc.d, rphantrad10.d et rphant3.d

En comparant rphantrad1.d et rphantrad10.d, on peut penser que cette anomalie, ne vient pas d'une erreur de programmation, mais plutôt d'un problème numérique lié aux valeurs de $a(x)$.

Fantômes *cylindre*

Comme ci-dessus on traite différents exemples avec Emission = ecylindre2.d

On reprend les mêmes données d'atténuation, renommées *cylindre*, exception faite de la dernière qui est notre acylindre2.d habituel. On ajoute acylindre1t.d dont les valeurs sont le $1/3$ de celles de acylindre2.d (Max=4 au lieu de Max=12).

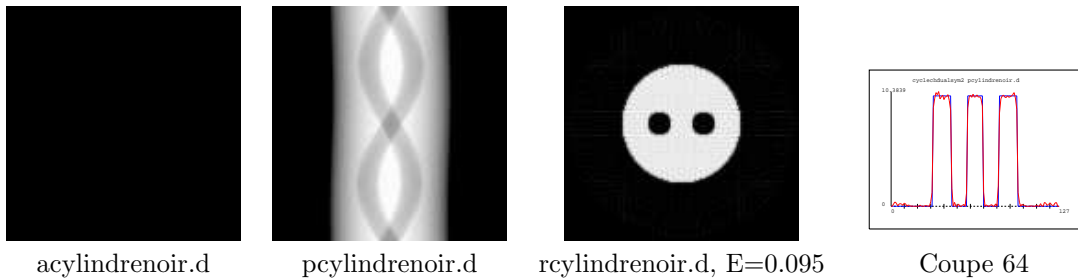
1. Att = acylindrenoir.d	$a \equiv 0$	Proj = pcylindrenoir.d
2. Att = acylindreblc.d	$a = 1$ dans $D(0, 1)$	Proj = pcylindreblc.d
3. Att = acylindrerad1.d	$a = 1$ dans $D(0, 0.2)$ et $Cour(0, 0.5, 0.6)$	Proj = pcylindrerad1.d
4. Att = pcylindrerad10.d	$a = 10$ dans $D(0, 0.2)$ et $Cour(0, 0.5, 0.6)$	Proj = pcylindrerad10.d
5. Att = acylindrecstt.d	$a = dist(x, \{t\theta, t\})$ pour $\theta = \pi/4$	Proj = pcylindrecstt.d
6. Att = acylindre2.d		Proj = pcylindre2.d
7. Att = acylindre1t.d	$a = \frac{1}{3} acylindre2.d$	Proj = pcylindre1t.d

Reconstructions

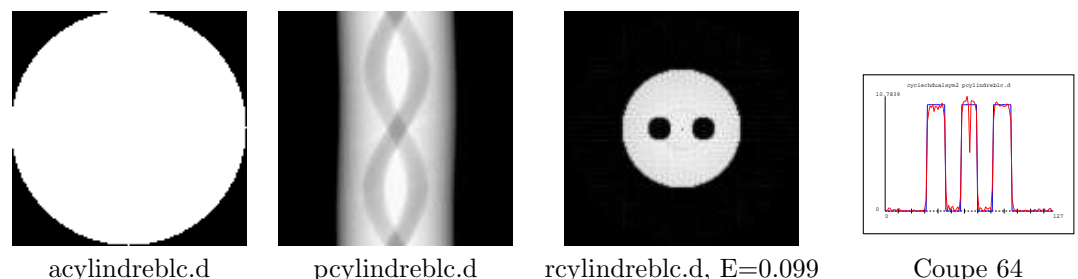
acylindrenoir.d	pcylindrenoir.d	cyclemor -i 6 E=0.098347
acylindrenoir.d	pcylindrenoir.d	cyclenchang -z E=0.095297
acylindrenoir.d	pcylindrenoir.d	cyclechdualsym2 E=0.095297
acylindreblc.d	pcylindreblc.d	cyclemor -i 6 E=0.10972
acylindreblc.d	pcylindreblc.d	cyclenchang -z E=0.092968
acylindreblc.d	pcylindreblc.d	cyclechdualsym2 E=0.099395
acylindrerad1.d	pcylindrerad1.d	cyclemor -i 6 E=0.10188
acylindrerad1.d	pcylindrerad1.d	cyclenchang -z E=0.15083
acylindrerad1.d	pcylindrerad1.d	cyclechdualsym2 E=0.10298
acylindrerad10.d	pcylindrerad10.d	cyclemor -i 6 E=0.1923
acylindrerad10.d	pcylindrerad10.d	cyclenchang -z E=0.54272
acylindrerad10.d	pcylindrerad10.d	cyclechdualsym2 E=0.4138
acylindrecstt.d	pcylindrecstt.d	cyclemor -i 6 E=0.11117
acylindrecstt.d	pcylindrecstt.d	cyclenchang -z E=0.20752
acylindrecstt.d	pcylindrecstt.d	cyclechdualsym2 E=0.1006
acylindre2.d	pcylindre2.d	cyclemor -i 6 E=0.10116
acylindre2.d	pcylindre2.d	cyclenchang -z E=0.1443
acylindre2.d	pcylindre2.d	cyclechdualsym2 E=0.22435
acylindre1t.d	pcylindre1t.d	cyclemor -i 6 E=0.098411
acylindre1t.d	pcylindre1t.d	cyclenchang -z E=0.11432
acylindre1t.d	pcylindre1t.d	cyclechdualsym2 E=0.11428

Images

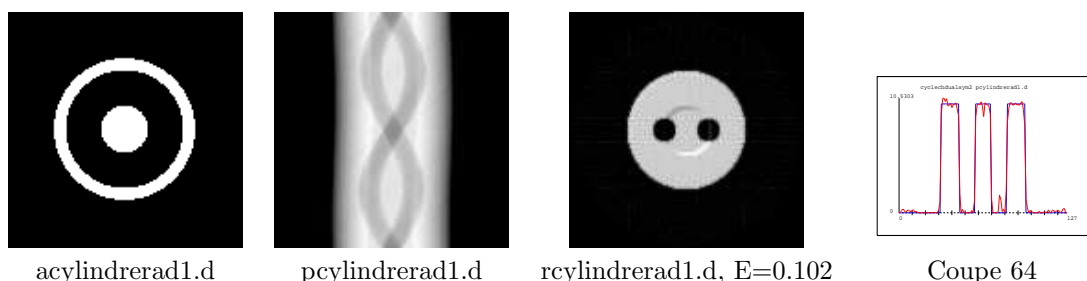
1. pcylindrenoir.d



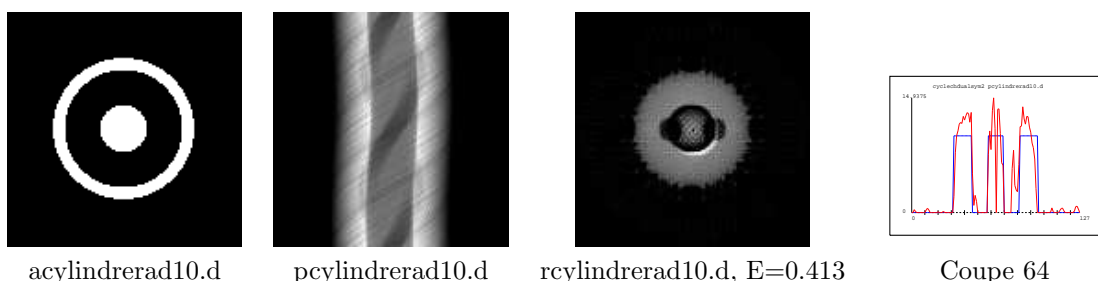
2. pcylindreblc.d



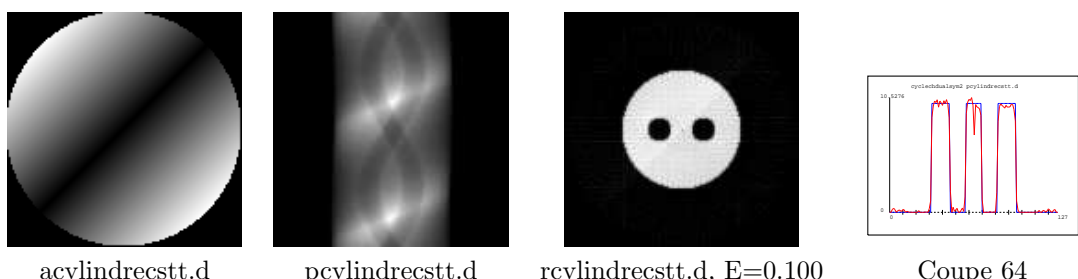
3. pcylindrerad1.d



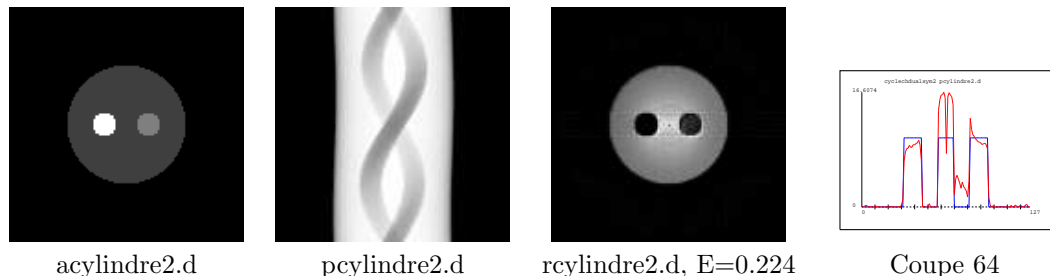
4. pcylindrerad10.d



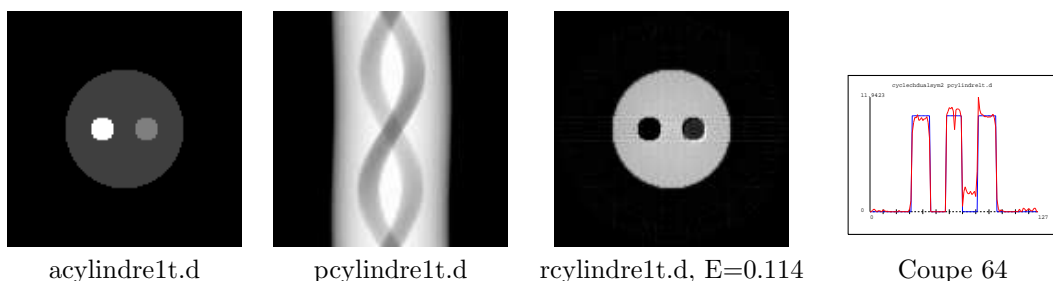
5. pcylindrecstt.d



6. pcylindre2.d



7. pcylindre1t.d



Commentaires

Pour le cylindre les erreurs relatives et les coupes 64 des résultats sont assez satisfaisantes. Mais ici aussi on note une anomalie au pixel $(64,64)=(0,0)$ sur les coupes de rcylindreblc.d, rcylindrerad10.d, rcylindrecstt.d et rcylindre2.d. On constate sur rcylindre1t.d qu'en divisant les valeurs des pixels de acylindre2.d par 3 on obtient un résultat bien meilleur !